

Oppgave 1 a) Når  $-L/2 \leq x \leq L/2$  er løsningene på Schröd.  $-\frac{\hbar^2}{2m}\psi'' = E\psi$   
 løs kx eller sin kx, med  $2mE/k^2 = k^2$ .  
 Med  $x > L/2$  blir Schröd.  $-\frac{\hbar^2}{2m}\psi'' = (E - V_0)\psi = -\frac{\hbar^2 k^2}{2m}\psi$ ,  
 altså:  $\psi'' = k^2\psi$  med løsninger  $\psi = e^{\pm kx}$ . Bare  
 minus-tegnet er akseptabelt når  $\int_{-\infty}^{\infty} |x\psi|^2 dx < \infty$   
 Tilsvarende, når  $x < -L/2$ :  $\psi = e^{-kx}$ .

Like paritet gir da

$$\psi(x) = \begin{cases} a e^{kx} & x \leq -L/2 \\ b \sin kx & -L/2 \leq x \leq L/2 \\ c e^{-kx} & x \geq L/2 \end{cases} \text{ gca.}$$

a, b konstanter

$$\psi(-x) = \psi(x) \quad \text{eller} \quad \psi(-x) = -\psi(x)$$

I like paritet      Odd paritet

I dette potensialet må  $E < V_0$  for alle bindne tilstander. Definer:  $k$ ,  $k_0$  og  $K$  ved:

$$E = \frac{\hbar^2 k^2}{2m} ; \quad V_0 = \frac{\hbar^2 k_0^2}{2m} ; \quad V_0 - E = \frac{\hbar^2 k^2}{2m} ; (K = k_0^2 - k^2)$$

b) Tilsvarende: Odd paritet. må fra formen

$$\psi(x) = \begin{cases} -c e^{+kx} \\ d \sin kx \\ +c e^{-kx} \end{cases} \quad c, d \text{ konstanter.}$$

c) Like paritet. Grunnet ved  $x = L/2$  (de ved  $x = -L/2$   
 med symmetrigrunnlag og med antigravitasjon gi samme betingelser):

$$\psi\left(\frac{L}{2}\right) = a e^{-KL/2} = b \cos \frac{kL}{2}$$

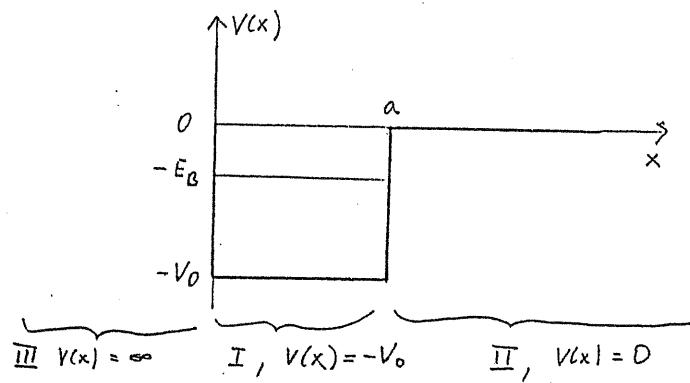
$$\psi'\left(\frac{L}{2}\right) = -ka e^{-KL/2} = -kb \sin \frac{kL}{2}$$

Dividér siste likning med første:

$$\tan \frac{kL}{2} = \frac{k}{a} \quad \text{gca.}$$

d) Odd paritet:

$$\left. \begin{aligned} \psi\left(\frac{L}{2}\right) &= c e^{-KL/2} = d \sin \frac{kL}{2} \\ \psi'\left(\frac{L}{2}\right) &= -kc e^{-KL/2} = kd \cos \frac{kL}{2} \end{aligned} \right\} \quad \tan \frac{kL}{2} = -\frac{k}{c}$$



Wir studieren hier bandtheoretische Zustände, d.h.  
 $E = -E_B$  der  $0 < E_B < V_0$

In der Region I gilt da Schrödinger-Gleichungen:

$$\psi'' = -\frac{2m}{\hbar^2} (V_0 - E_B) \psi$$

$$\equiv -k^2 \psi \quad (1)$$

der:

$$k = \left( \frac{2m}{\hbar^2} (V_0 - E_B) \right)^{1/2} \quad (2)$$

mit generell Lösung:

$$\psi_I(x) = C_1^I \sin(kx) + C_2^I \cos(kx) \quad (3)$$

I område II blir Schrödingerligningen:

$$\psi'' = \frac{2mE_B}{\hbar^2} \psi \equiv \delta e^2 \psi \quad (4)$$

$$\text{der: } \delta e = \left( \frac{2mE_B}{\hbar^2} \right)^{\frac{1}{2}} \quad (5)$$

med generell løsning:

$$\psi_{II}(x) = C_1^{II} e^{-\delta ex} + C_2^{II} e^{\delta ex} \quad (6)$$

Kondisjon:

i) Kravet om kvadratisk integrerbarhet

gir:

$$\psi_{II}(x \rightarrow \infty) \rightarrow 0 \quad (7)$$

$$\Rightarrow C_2^{II} = 0$$

ii) Fra punkt 3.1 i forelesningene  
har vi at  $\psi(x) = 0$  når  $V(x) = \infty$   
Dette sammen med at  $\psi(x)$  må  
vere kontinuerlig gir:

$$\psi(0) = 0$$

$$\Rightarrow C_2^I = 0$$

Vi står da igjen med:

$$\psi_I(x) = C_1^I \sin(kx) \quad (9)$$

$$\psi_{II}(x) = C_1^{II} e^{-\delta ex} \quad (10)$$

Fra pkt. 3.1 i forelesningene har vi også skjøtingsskiftekravene:

$$\psi_I(a) = \psi_{II}(a) \quad (11)$$

$$\psi'_I(a) = \psi'_{II}(a) \quad (12)$$

$$(6)$$

som gir:

$$C_1^I \sin(ka) = C_1^{II} e^{-\delta ea} \quad (13)$$

og:

$$k C_1^I \cos(ka) = -\delta e C_1^{II} e^{-\delta ea} \quad (14)$$

(14) dividert med (13) gir:

$$k \cot(ka) = -\delta e \quad (15)$$

og videre ved hjelp av lign. (2) og (5):

$$\delta e = -k \cot(ka)$$

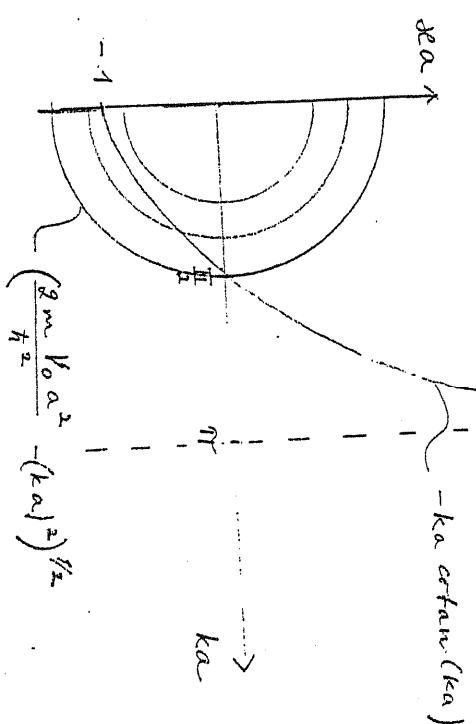
$$= \left( \frac{2mV_0 a^2}{\hbar^2} - (ka)^2 \right)^{\frac{1}{2}} \quad (16)$$

$$(16)$$

Vi har her to uttrykk for  $\delta e$

som i prinsipp bestemmer hvilke verdiar  
for  $k$  (dvs dermed for  $E_B$ ) som er  
løsninger for dette problemet. Vi  
kan imidlertid ikke finne eksplisitive  
uttrykk analytisk for disse  $E_B$ -verdiene.

Vi kan i idelværdi fremstille begge uttrykk for  $\text{sea}$  grafisk s.f.a.  $\text{ka}$  og på den måten finne løsningen på  $\text{ka}$  oppgave. Vi merker oss da at både  $\text{sea}$  og  $\text{ka}$  er positive (se lign. (2) og (5)) og at det siste uttrykket for  $\text{sea}$  i lign. (17) representerer en sirkel med radius  $(\frac{2m\kappa_0 a^2}{h^2})^{1/2}$ . Vi får da følgende skisse:



$$\left(\frac{2m\kappa_0 a^2}{h^2}\right)^{1/2} - (ka)^2$$

I skissen tilsvarer de forskjellige kvalitettene forskjellige verdier for  $m$ . Vi ser at vi bare kan få løsning av lign. (16) for positive  $\text{sea}$  og  $\text{ka}$  (dvs. få bundne klastander) dersom:

$$\text{sum gir: } m > \frac{\pi^2 h^2}{a^2}$$

$$(17)$$

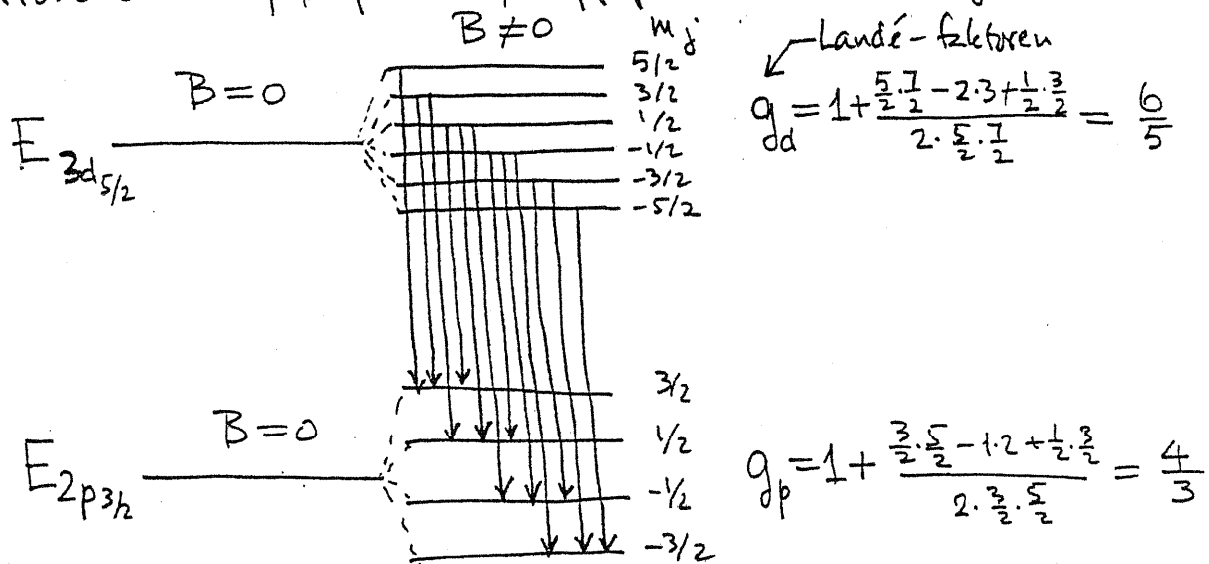
## Oppgave 2

a) I denne oppgaven skal vi anvende Landé's g-faktor

$$g = 1 + \frac{j(j+1) - l(l+1) + s(s+1)}{2j(j+1)}$$

til å se på oppsplittingen som et  $\vec{B}$ -felt gir av linjen som følger av den elektriske dipolovergangen  $3d_{5/2} \rightarrow 2p_{3/2}$ . Utvalgsregelen  $\Delta l = \pm 1$  er øpenbart oppfylt når  $d \rightarrow p$  ( $l=2 \rightarrow l=1$ ). Og  $\Delta j = \frac{3}{2} - \frac{5}{2} = -1$  er også OK for el. dipol overgang. Dessuten har vi regelen  $\Delta m_j = 0, \pm 1$ .

b) Nivåene blir, geometrisk, oppsplittet som følger



Energiforskyvningen relativt energidifferansen mellom nivåene i  $B=0$  er

$$\delta E = \mu_B B [g_d(m_j)_{\text{for}} - g_p(m_j)_{\text{etter}}]$$

Dvs:

$\Delta m_j$	$\frac{5}{2} \rightarrow \frac{3}{2}$	$\frac{3}{2} \rightarrow \frac{1}{2}$	$\frac{3}{2} \rightarrow -\frac{1}{2}$	$\frac{1}{2} \rightarrow \frac{3}{2}$	$\frac{1}{2} \rightarrow \frac{1}{2}$	$\frac{1}{2} \rightarrow -\frac{1}{2}$	$-\frac{1}{2} \rightarrow \frac{1}{2}$	$-\frac{1}{2} \rightarrow -\frac{1}{2}$	$\frac{1}{2} \rightarrow -\frac{3}{2}$	$-\frac{1}{2} \rightarrow -\frac{3}{2}$
$\frac{\delta E}{\mu_B B}$	1	$-\frac{1}{5}$	$\frac{17}{15}$	$-\frac{7}{5}$	$-\frac{1}{15}$	$\frac{19}{15}$	$-\frac{19}{15}$	$\frac{1}{15}$	$\frac{7}{5}$	

OSV.

Alle 12 mulighetene gir forskjellige energiforskyvninger.

Alt: 12 linjer er resultatet når  $3d_{5/2} \rightarrow 2p_{3/2}$  overgangen utsattes for et magnetfelt!

### Oppgave 3

a) Orthogonalitet: Med  $\int d\Omega \equiv \int_{-\pi}^{\pi} d\varphi \int_0^{\pi} d\theta \sin\theta$  har en

$$\int d\Omega p_x^* p_z = \frac{1}{\sqrt{2}} \int d\Omega (-Y_{11}^* Y_{10} + Y_{1-1}^* Y_{10}) = 0$$

Dette må være null siden  $Y_{lm}$  alle er orthogonale.  
Helt tilsvarende må  $p_y$  &  $p_z$  være orthogonale.

$$\int d\Omega p_x^* p_y = \frac{i}{2} \int d\Omega (-|Y_{11}|^2 - Y_{11}^* Y_{1-1} + Y_{1-1}^* Y_{11} + |Y_{1-1}|^2)$$

Krissleddene gir null av samme grunn som før,  
mens diagonalleddene slår hverandre i hjel, siden  
alle  $Y_{lm}$  er normalisert til 1:  $\int d\Omega |Y_{lm}|^2 = 1$ .

Normering

$$\begin{aligned} \int d\Omega |p_x|^2 &= \frac{1}{2} \int d\Omega (|Y_{11}|^2 - Y_{11}^* Y_{1-1} - Y_{1-1}^* Y_{11} + |Y_{1-1}|^2) \\ &= \frac{1}{2} (1+1) = 1. \end{aligned}$$

og tilsvarende for  $p_y$ :

$$\int d\Omega |p_y|^2 = \frac{1}{2} \int d\Omega (|Y_{11}|^2 + Y_{11}^* Y_{1-1} + Y_{1-1}^* Y_{11} + |Y_{1-1}|^2) = 1$$

Tilslutt

$$\begin{aligned} p_x &= \frac{1}{\sqrt{2}} \left( \sqrt{\frac{3}{8\pi}} \sin\theta e^{i\varphi} + \sqrt{\frac{3}{8\pi}} \sin\theta e^{-i\varphi} \right) = \sqrt{\frac{3}{4\pi}} \sin\theta \frac{1}{2}(e^{i\varphi} + e^{-i\varphi}) \\ &= \sqrt{\frac{3}{4\pi}} \sin\theta \cos\varphi \end{aligned}$$

$$p_y = \frac{i}{\sqrt{2}} \left( -\sqrt{\frac{3}{8\pi}} \sin\theta e^{i\varphi} + \sqrt{\frac{3}{8\pi}} \sin\theta e^{-i\varphi} \right) = \sqrt{\frac{3}{4\pi}} \sin\theta \sin\varphi$$

Men  $(\sin\theta \cos\varphi, \sin\theta \sin\varphi, \cos\theta)$  er nettopp  $x, y$  &  $z$ -komponentene av en vilkårlig enhetsvektor og  $p_x, p_y, p_z$  har derfor samme symmetri som absur  $x, y, z$ .

Som med rimelig tilnærrelse kan identifiseres  
med  $\vec{H}$ -tilstanden  $m=1, l=0$ , men med  $Z=2$ .

b) I He atoms grunn tilstand er begge elektronene i rom-tilstanden  $\Phi_{10}$ . Romdelen av  $\Psi_1(1,2)$  er dermed symmetrisk, og spinndelen må være antisymmetrisk.

$$\Psi_1(1,2) = \Phi_{10}(\vec{r}_1) \Phi_{10}(\vec{r}_2) \cdot \frac{1}{\sqrt{2}} (\chi_{\uparrow}(1) \chi_{\downarrow}(2) - \chi_{\downarrow}(1) \chi_{\uparrow}(2))$$

Nest laveste energien for en med ett elektron i  $\Phi_{10}$  og ett i  $\Phi_{20}$ . Romdelen kan da velges symmetrisk eller antisymmetrisk. Lavest energi for den antisymmetriske muligheten, siden den gir større middelavstand mellom elektronene, og dermed lavere (frastøtnings-) Coulombs energi. Alesse

$$\Psi_2(1,2) = \frac{1}{\sqrt{2}} (\Phi_{10}(\vec{r}_1) \Phi_{20}(\vec{r}_2) - \Phi_{20}(\vec{r}_1) \Phi_{10}(\vec{r}_2))$$

$$= \begin{cases} \chi_{\uparrow}(1) \chi_{\uparrow}(2) \\ \frac{1}{\sqrt{2}} (\chi_{\uparrow}(1) \chi_{\downarrow}(2) + \chi_{\downarrow}(1) \chi_{\uparrow}(2)) \\ \chi_{\downarrow}(1) \chi_{\downarrow}(2) \end{cases} \quad \begin{array}{l} \text{Spinup} \\ \text{triplett} \end{array}$$

En av de 3 mulige symmetriske spinntilstandene i spintripletten er realisert. Stort sett er derfor dette 3 forskjellige tilstrender, og det tilsvarende energineva har degenerasjonsgrad 3.

Litt høyere energi enn  $\Psi_2$ -tilstanden (e) har

$$\Psi_3(1,2) = \frac{1}{\sqrt{2}} (\Phi_{10}(\vec{r}_1) \Phi_{20}(\vec{r}_2) + \Phi_{20}(\vec{r}_1) \Phi_{10}(\vec{r}_2)) \cdot \frac{1}{\sqrt{2}} (\chi_{\uparrow}(1) \chi_{\downarrow}(2) - \chi_{\downarrow}(1) \chi_{\uparrow}(2))$$

$\Psi_1 \neq \Psi_3$ : Para-He ;  $\Psi_2$ : Ortho-He .

spin singlett

OPP gave 4.

a) 4,64 eV

b) 18 Å

c)  $\frac{\partial V}{\partial R} = 0 \Rightarrow A e^{-R_0/\rho} = \frac{\rho}{R_0} \left( \frac{e^2}{4\pi\epsilon_0 R_0} \right)$

$$V_0 = -\frac{e^2}{4\pi\epsilon_0 R_0} \left( 1 - \frac{\rho}{R_0} \right)$$

$$\Rightarrow \frac{\rho}{R_0} = 1 - \frac{V_0}{e^2/4\pi\epsilon_0 R_0}$$

$$A = \frac{\frac{\rho}{R_0} \left( \frac{e^2}{4\pi\epsilon_0 R_0} \right)}{e^{-R_0/\rho}}$$